



Manysplendid

客觀分析法地面溫度案例分析 與CUDA技術應用

馮智勇 劉家豪 林佑蓉 蔡雅婷
陳雲蘭

多采科技有限公司
交通部中央氣象局預報中心

緣起與目的

- 「發展高解析度統計預報技術」為氣象局「發展鄉鎮逐時天氣預報」計畫重點項目之一，**溫度**面化上：
 - 氣象局現行使用類**LST(Land Surface temperature)法**
 - 美國作業單位採用**BCDG法**
 - 氣象局引入根據資料之空間分佈統計特性以決定線性內插係數的**通用克利金法(Universal Kriging technique)**
- 掌握空間內插技術以提升高解析度統計預報技術
 - 了解與比較**LST法**、**BCDG法**及**UK法** **原理特性**及**差異**
 - 案例分析使用**LST法**、**BCDG法**及**UK法**產生高解析度網格點**溫度**資訊的差異
- 測試高解析度預報技術伴隨之**計算效率**解決方案
 - **GPU計算資源**與**NVIDIA CUDA技術**應用

簡報大綱

一、溫度客觀分析方法

二、溫度客觀分析方法比較

三、溫度案例分析

四、GPU與NVIDIA CUDA技術應用

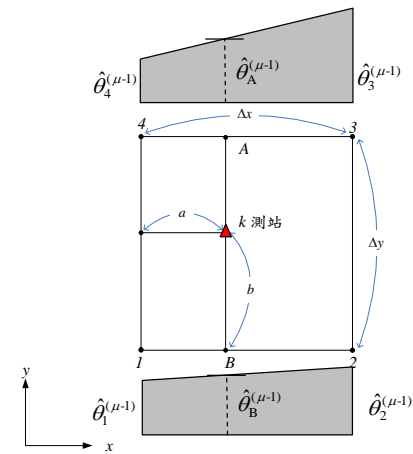
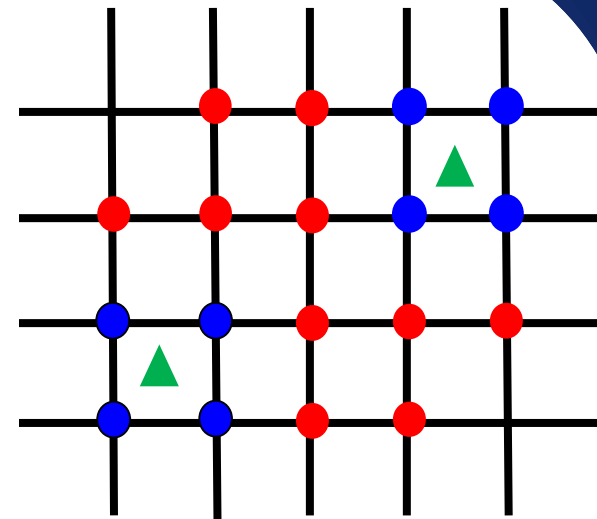
五、研究綜整

溫度客觀分析方法原理

- 逐次修正法
- 克利金法

逐次修正法

- 計算每個網格點ij的初始值 $\hat{\theta}_{ij}^0$
- 以第k測站為中心，利用雙線性內插估計測站內插值 $\hat{\theta}_k^{\mu-1}$
- 內插值與觀測相減得到估計誤差 $D_k^{\mu-1} = \theta_k - \hat{\theta}_k^{\mu-1}$
- 以網格ij為中心，利用**權重係數** w_k 將影響半徑範圍內測站誤差進行分配，得到修正值 $C_{ij}^{\mu-1} = \sum_{k=1}^n w_k D_k^{\mu-1} / \sum_{k=1}^n w_k$
- 網格更新值 $\hat{\theta}_{ij}^{\mu} = \hat{\theta}_{ij}^{\mu-1} + C_{ij}^{\mu-1}$
- 重複4次修正，每次縮小影響半徑範圍

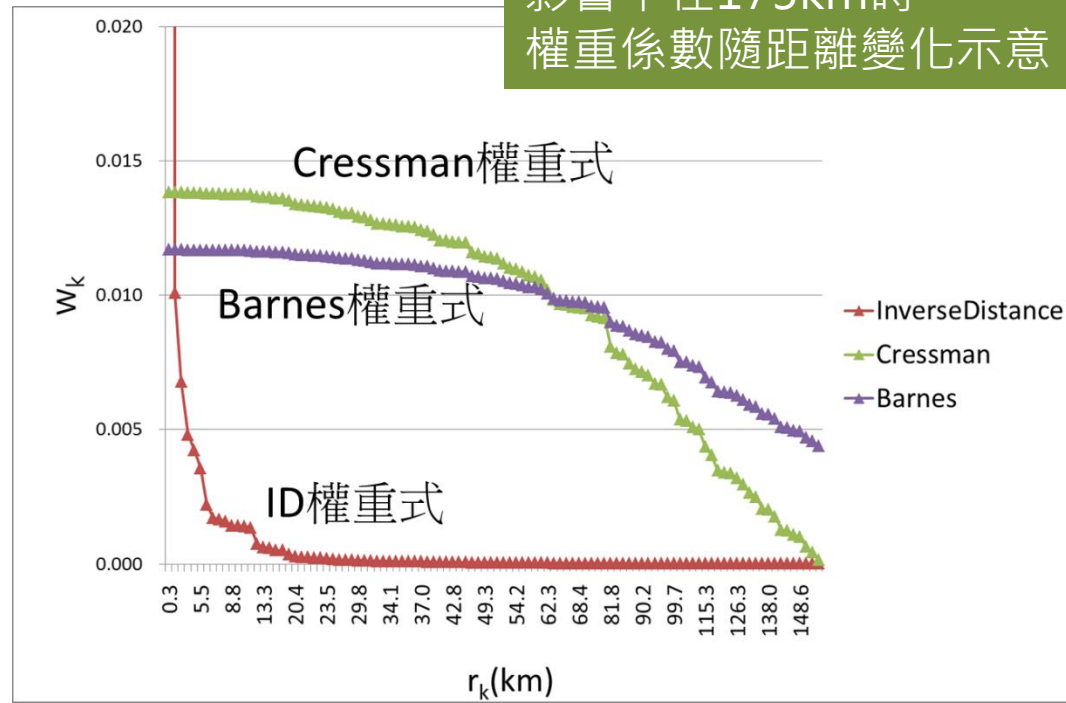


逐次修正法-配合不同權重式

- 距離平方倒數(ID) $w_k = 1/r_k^2$
 - Cressman(CM) $w_k = \frac{R^2 - r_k^2}{R^2 + r_k^2}$
 - Barnes(BN) $w_k = e^{-r_k^2/R^2}$
- } if $r_k < R$

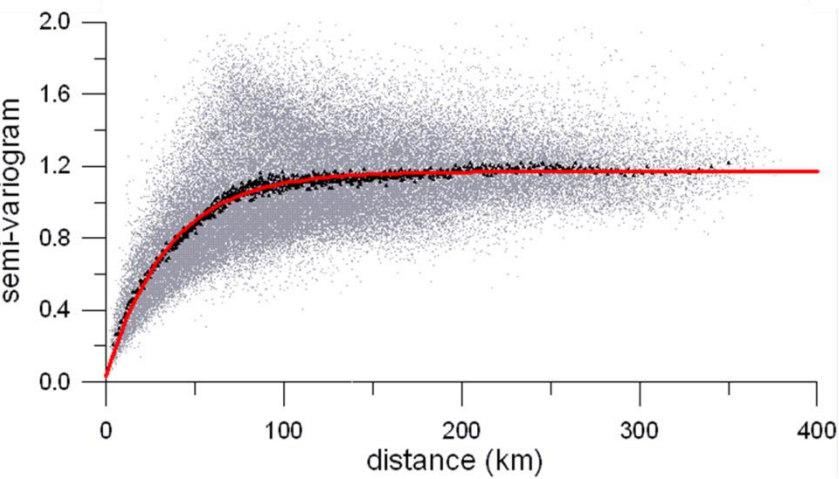
- ID權重式距離1km內測站權重較大，20km後權重就趨近於0
- Cressman約150km後權重即趨近於0
- Barnes 小於60km權重係數皆差不多，150km以後之測站仍有部分影響力

影響半徑175km時
權重係數隨距離變化示意



克利金法

- 克利金法為使用**變異圖**分析空間相關性，計算觀測值權重組合之客觀分析方法
 - 由**歷史資料**迴歸統計協變異數隨距離變化情形，決定**半變異圖/變異圖**函數
 - 由「**不偏估條件**」及「**最小估計誤差變異數**」建立矩陣方程式並求出權重係數值
 - 依不同趨勢條件假設下，分為



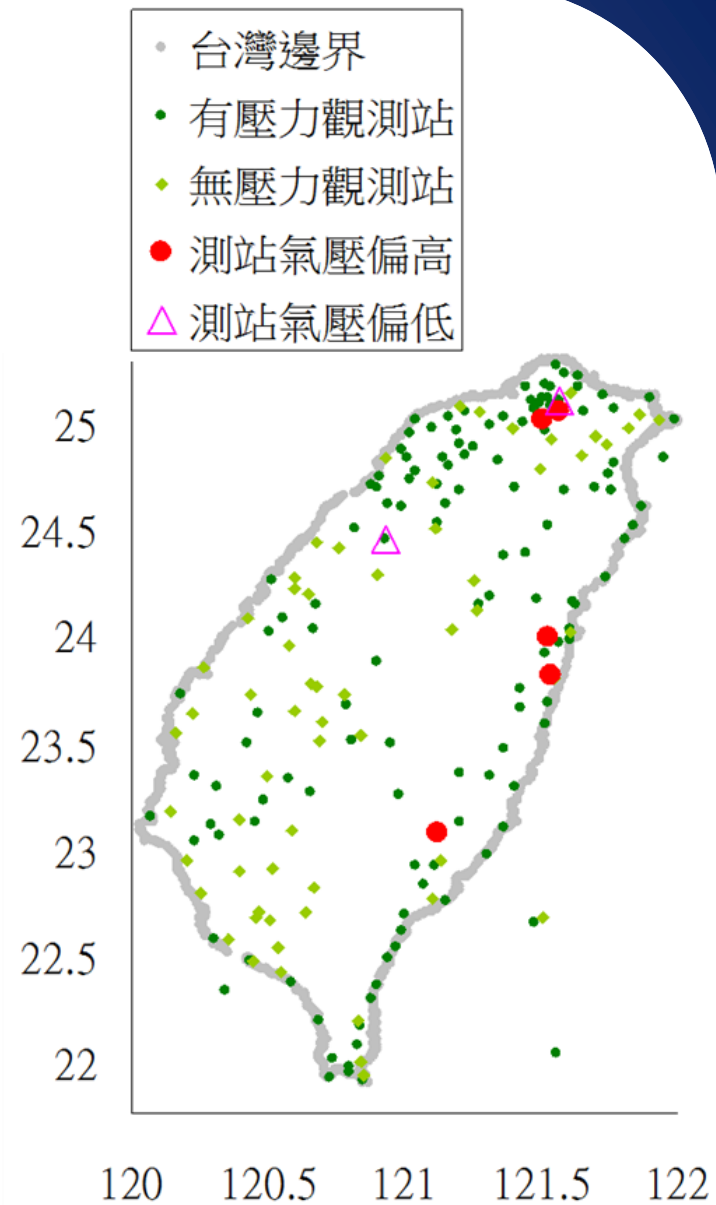
- 已去除趨勢條件的**簡單克利金法**
- 含**平均值為常數**假設的**普通克利金法(OK)**
- 含**平均值為某種空間趨勢函數**假設的**通用克利金法(UK)**

溫度客觀分析方法介紹

- LST法
- BCDG法
- UK法

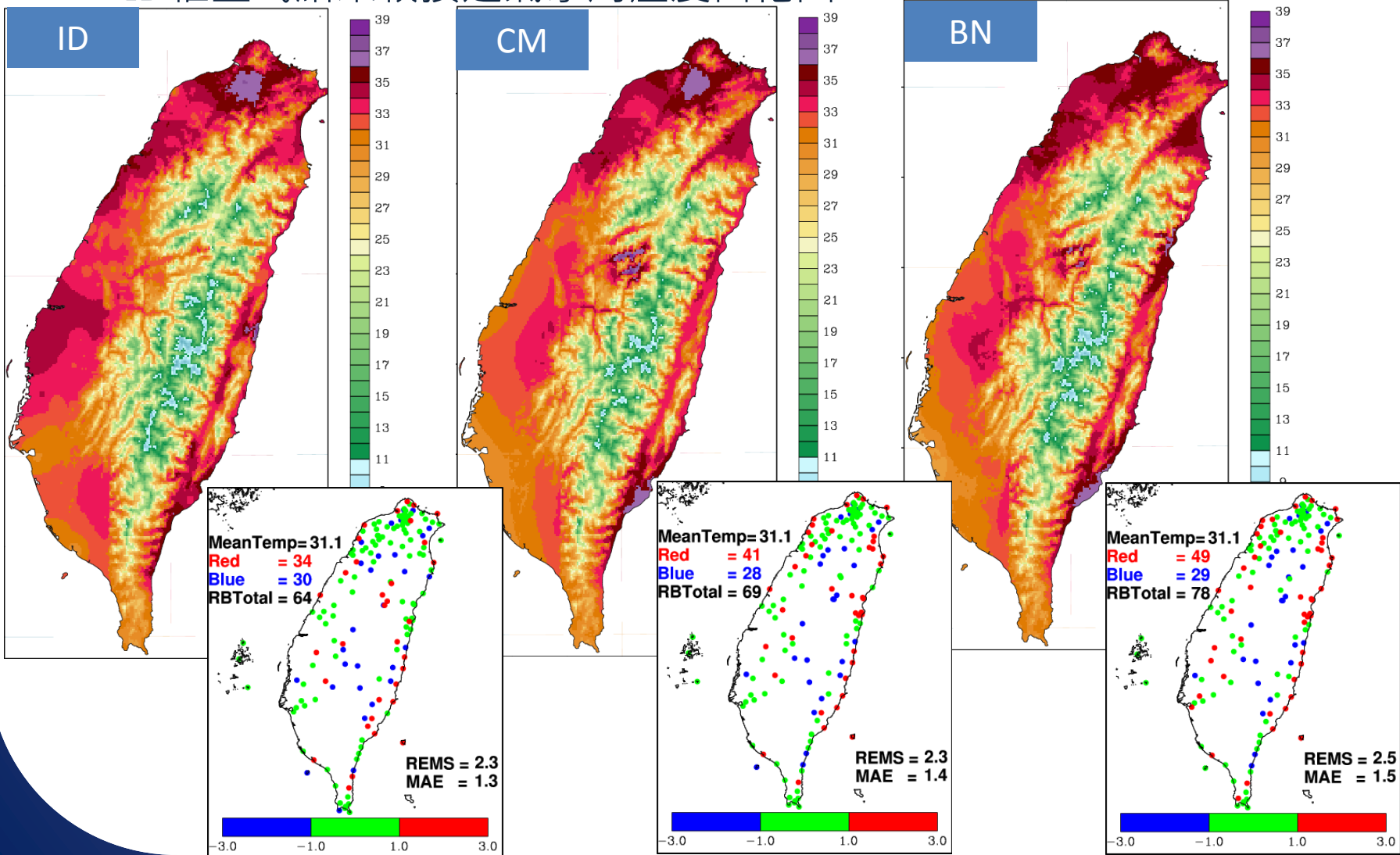
LST法介紹

- 利用測站之溫度及壓力觀測，假設於乾絕熱狀態下求取位溫
- 將所求之位溫面化至網格點
- 將網格點位溫值與壓力值，於乾絕熱假設下估計地表溫度
- 本研究使用有溫度觀測測站約180站(包含人工站、自動站及環保署測站)，其中約150站左右有觀測氣壓



LST法各權重式比較-8/8 12時案例

- 當天西南部有出現較高溫度
- ID權重式結果較接近氣象局溫度面化圖



BCDG法簡介

- 由 Glahn 等人 (Glahn et al., 2009) 改良 BCD 法以發展網格化之模式輸出統計技術 (MOS) 而來
 - BCD 法為 Bergthorssen 與 Doos (1955) 提出，隨後為 Cressman 所實作 (Cressman, 1959)，採逐次修正邏輯 (successive correction) 迭代修正
 - 引入 **溫度隨高度變化率** (vertical change with elevation, VCE)，使得應用於地表溫度場時無須進行高度轉換
 - 考量 **陸地** 與 **水體** 特性不同，計算測站估計值
 - 網格點估計值 **平滑化** 處理

BCDG法溫度隨高程變化率計算方式

- 測站 k 之溫度隨高程變化率(VCE)計算方式

$$VCE_k = \frac{\sum_l (\theta_{kl} - \theta_k)}{\sum_l (h_{kl} - h_k)}$$

- 測站 k 觀測值 θ_k 、水平位置 $u_k(x,y)$ 、高程 h_k
- 鄰近站 l 觀測值 θ_{kl} 、水平位置 $u_{kl}(x,y)$ 、高程 h_{kl}
- 鄰近站 l 須滿足垂直高度與水平距離限制，以避免局部效應造成雜訊影響(美國取130m與340km)

$$|h_{kl} - h_k| \geq h_{VCE}$$

$$|u_{kl} - u_k| \leq R_{VCE}$$

BCDG法逐次修正實作方式

- 使用逐次修正法進行四次迭代

- 使用Cressman權重式 $w_k = \frac{R^2 - r_k^2}{R^2 + r_k^2}$

r_k 測站與網格距離
 R 影響半徑範圍

- 估計誤差 $D_k^{\mu-1}$ 加入VCE

$$D_k^{\mu-1} = \begin{cases} \theta_k - \hat{\theta}_k^{\mu-1}, & \forall VCE_k = 0 \text{ or } h_{ij} - h_k = 0 \\ (\theta_k - \hat{\theta}_k^{\mu-1}) + \alpha_{VCE} \left[(\hat{\theta}_k^{\mu-1} - \hat{\theta}_{ij}^{\mu-1}) + VCE_k \times (h_{ij} - h_k) \right] \end{cases}$$

- 網格修正值為 $C_{ij}^{\mu-1} = \sum_{k=1}^n w_k D_k^{\mu-1} / \sum_{k=1}^n w_k$

通用克利金(UK)法概述

- 假設**氣象變數平均值為空間趨勢**，納入半變異圖/變異圖函數估計
 - **溫度場**平均值空間趨勢可視為**緯度**與**高程**線性組合
 - 透過「不偏估條件」要求**估計點之溫度場平均值符合該空間趨勢**，結合「最小估計誤差變異數」求解權重係數

$$AX = B \Rightarrow$$

各測站間的
關聯性

測站與估計
點的關聯性

溫度場平均值
不偏估條件

$$\begin{pmatrix}
 \text{cov}(\mathbf{u}_1, \mathbf{u}_1) & \cdots & \text{cov}(\mathbf{u}_1, \mathbf{u}_n) & 1 & h_1 & y_1 \\
 \vdots & \ddots & \vdots & \vdots & \vdots & \vdots \\
 \text{cov}(\mathbf{u}_n, \mathbf{u}_1) & \cdots & \text{cov}(\mathbf{u}_n, \mathbf{u}_n) & 1 & h_n & y_n
 \end{pmatrix}
 \begin{pmatrix}
 \lambda_1 \\
 \vdots \\
 \lambda_n
 \end{pmatrix}
 =
 \begin{pmatrix}
 \text{cov}(\mathbf{u}_1, \mathbf{u}_0) \\
 \vdots \\
 \text{cov}(\mathbf{u}_n, \mathbf{u}_0)
 \end{pmatrix}$$

$$\begin{pmatrix}
 1 & \cdots & 1 & 0 & 0 & 0 \\
 h_1 & \cdots & h_n & 0 & 0 & 0 \\
 y_1 & \cdots & y_n & 0 & 0 & 0
 \end{pmatrix}
 \begin{pmatrix}
 v_1 \\
 v_2 \\
 v_3
 \end{pmatrix}
 =
 \begin{pmatrix}
 1 \\
 h_0 \\
 y_0
 \end{pmatrix}$$

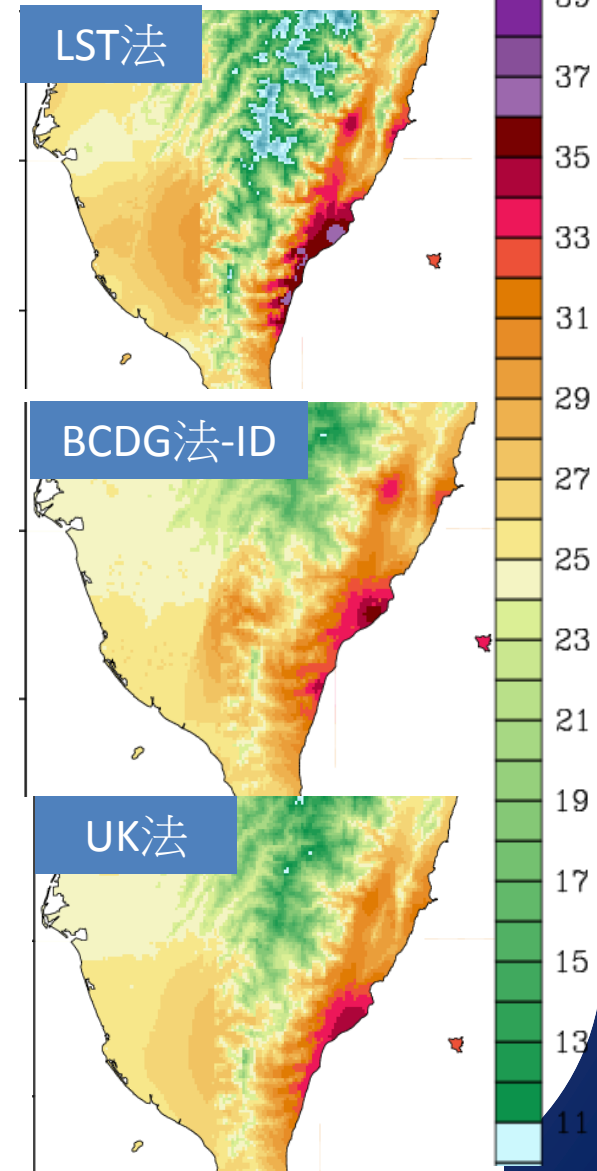
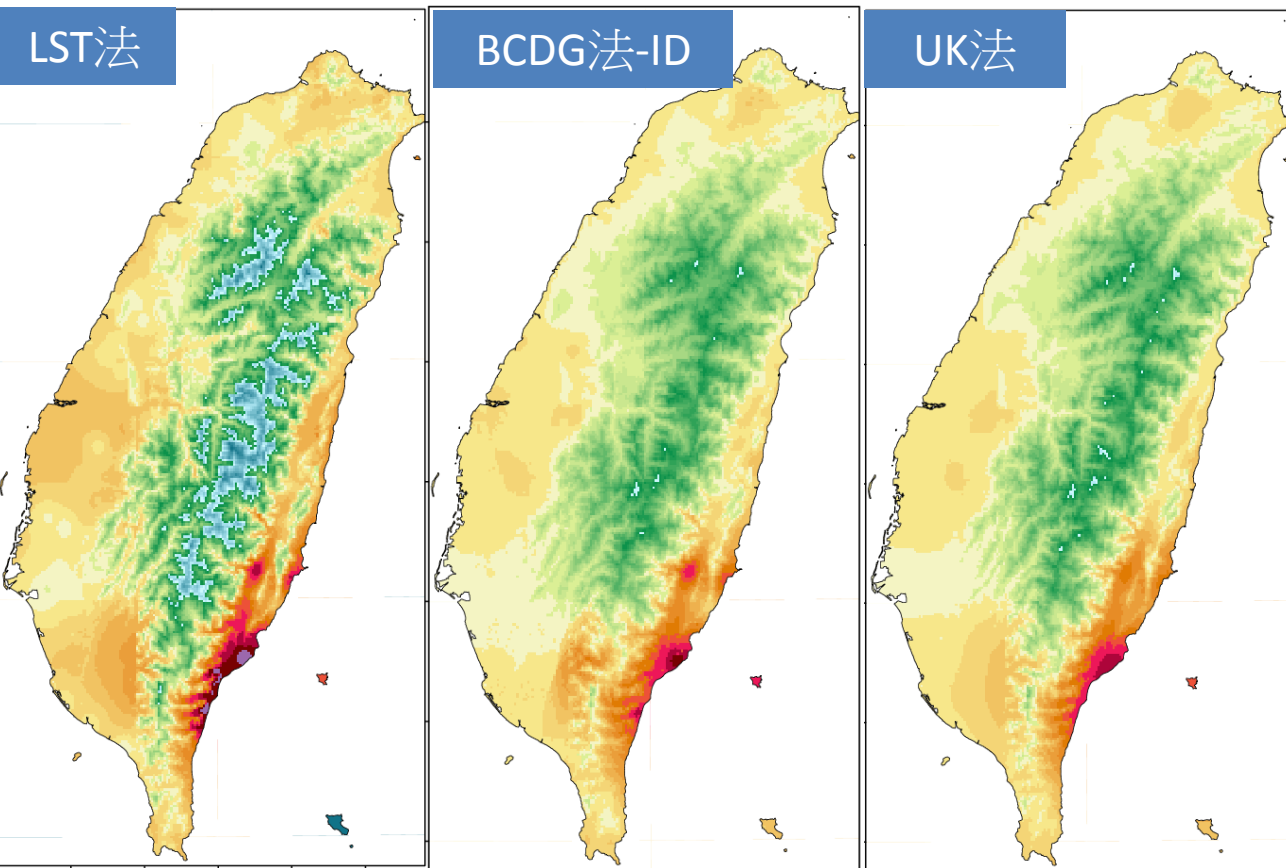
溫度客觀分析方法比較

- 定義估計點變數值與測站觀測資料關係
 - LST法及BCDG法：以影響半徑與距離界定參數
 - UK法：迴歸半變異數/協變異數決定參數
- 定義測站觀測資料間之關係
 - LST法及BCDG法：無
 - UK法：半變異數/協變異數
- 溫度趨勢函數
 - LST法：以測站-網格間距離決定
 - BCDG法：以測站-網格間距離決定，以VCE考慮高程
 - UK法：加入溫度隨緯度及高程變化函數
- 不偏估條件
 - LST法及BCDG法：權重係數和為1
 - UK法：權重係數和為1與趨勢函數物理量不偏估

溫度案例分析

- 8/2 蘇拉颱風期間臺東焚風
- 8/8 台北大武地區高溫案例
- 12/30 冷天氣型態案例
- 1/18 冷天氣型態案例

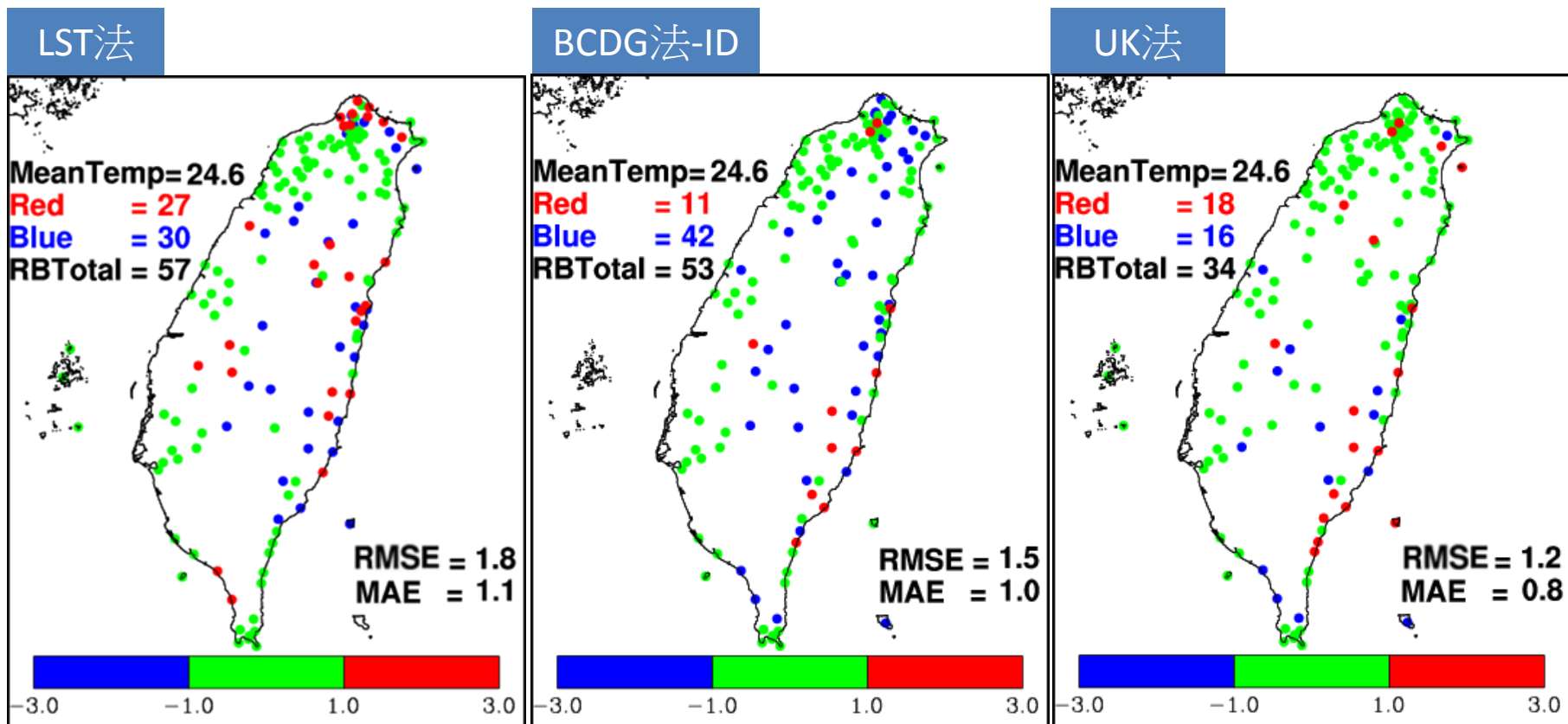
8/2 蘇拉颱風期間臺東焚風



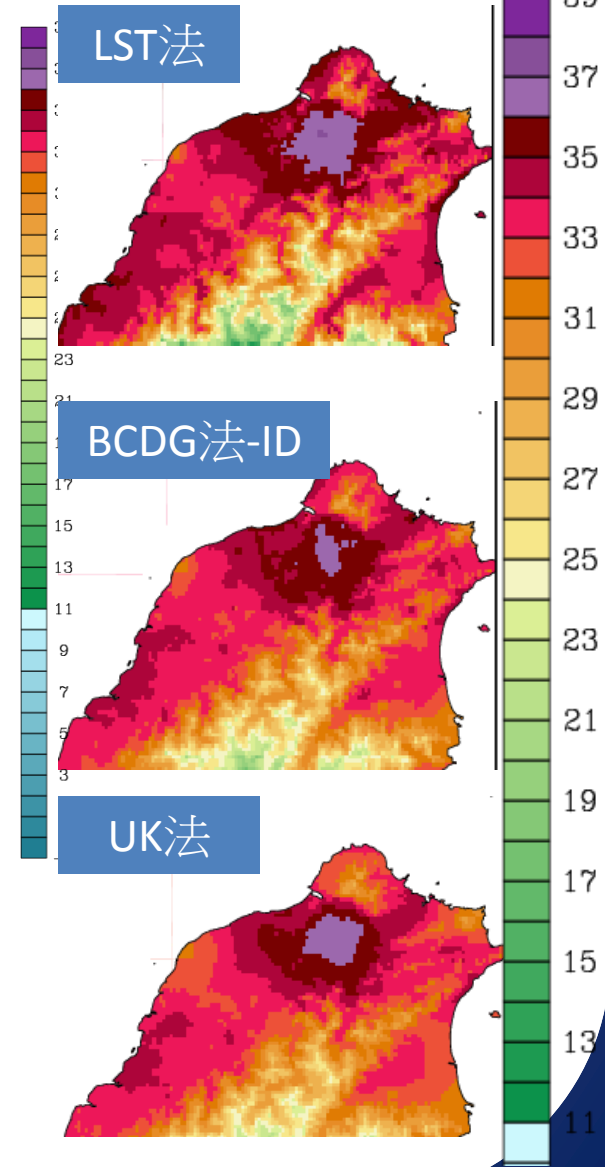
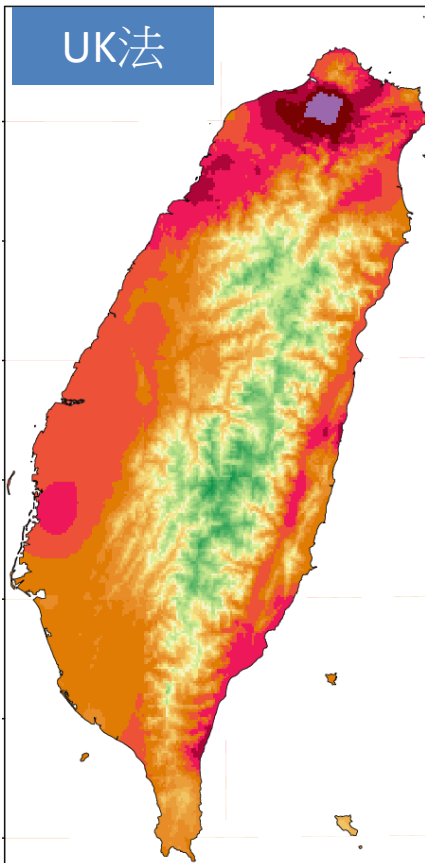
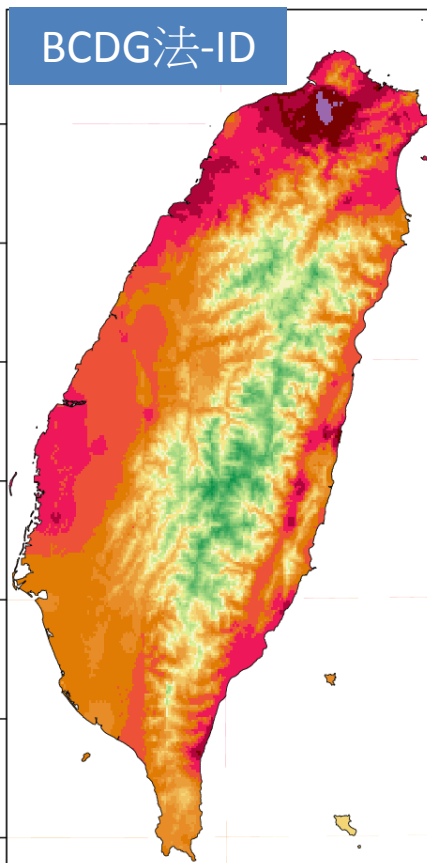
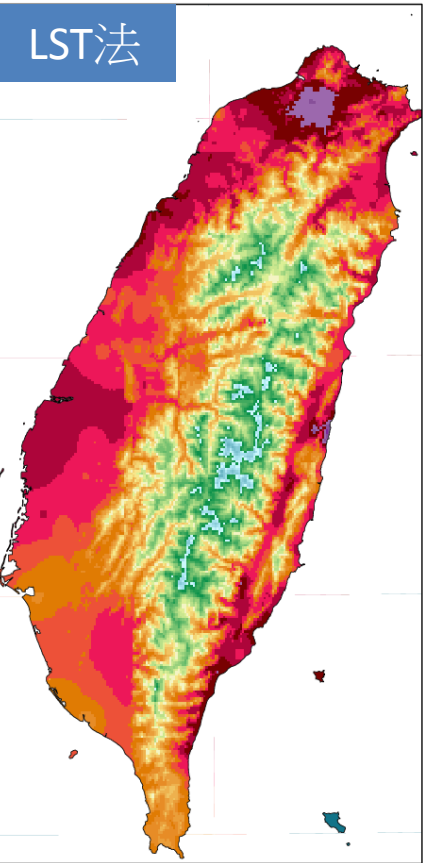
- LST法及UK法較能明顯表現出台東溫度現象

8/2 蘇拉颱風期間臺東焚風-OSE

- 高估低估測站總和數以UK法較佳
- UK法在台東地區有些測站高估，不過統計數值以UK表現較好
- 北部地區測站以UK法綠色點個數較多，LST法有些測站有高估現象

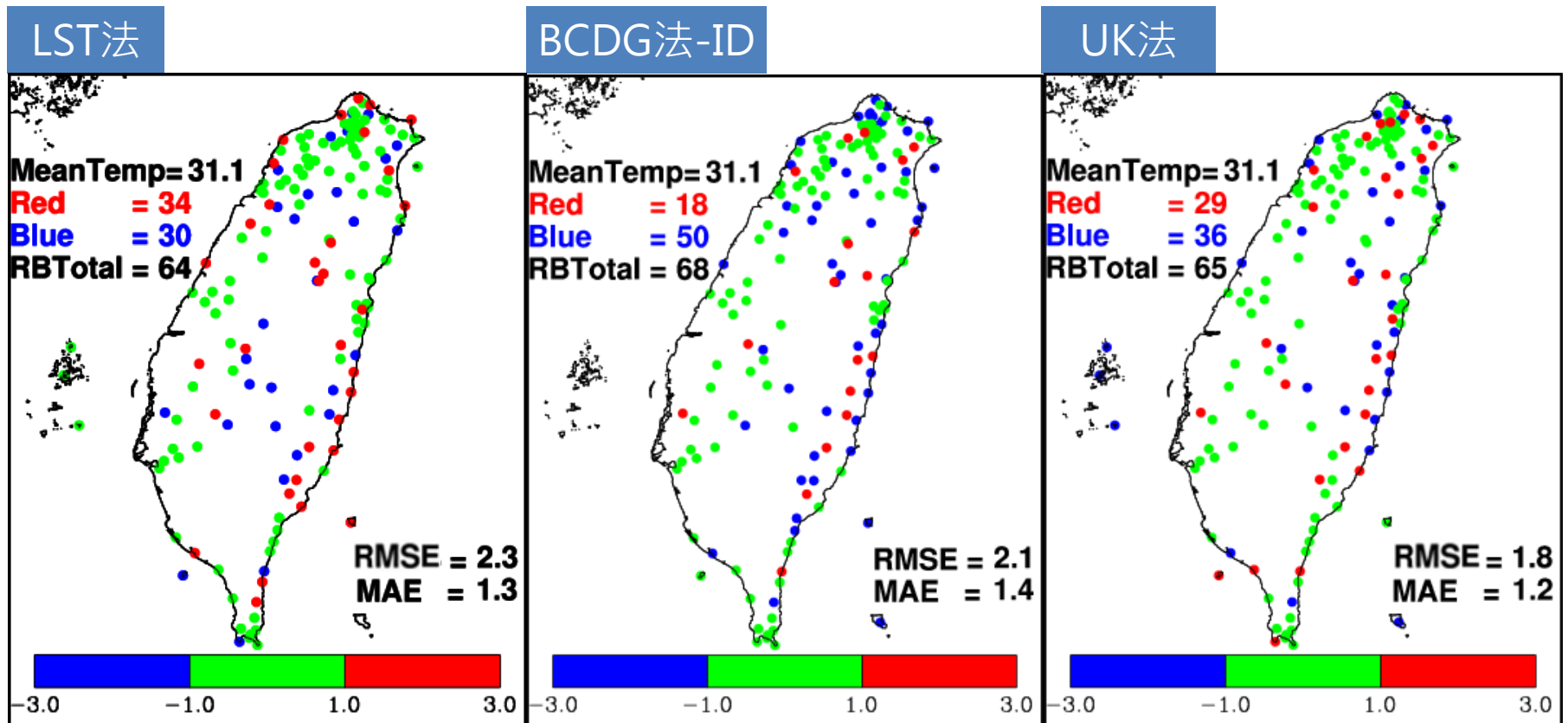


8/8 台北高溫36度基隆大武35度

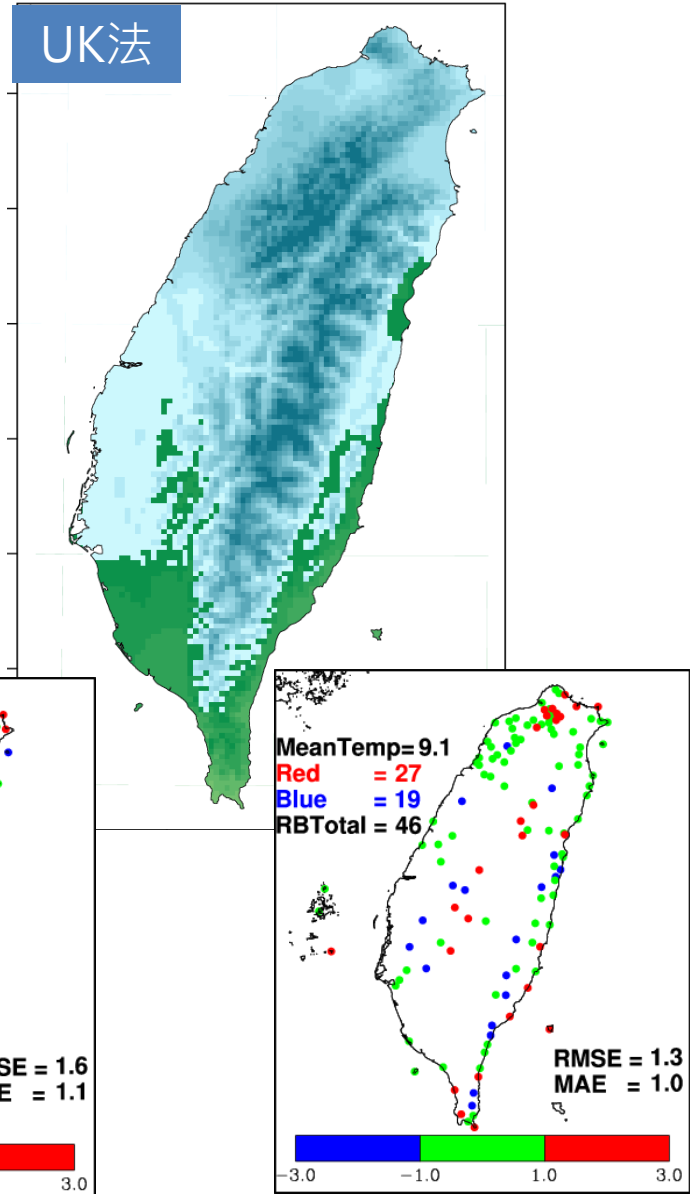
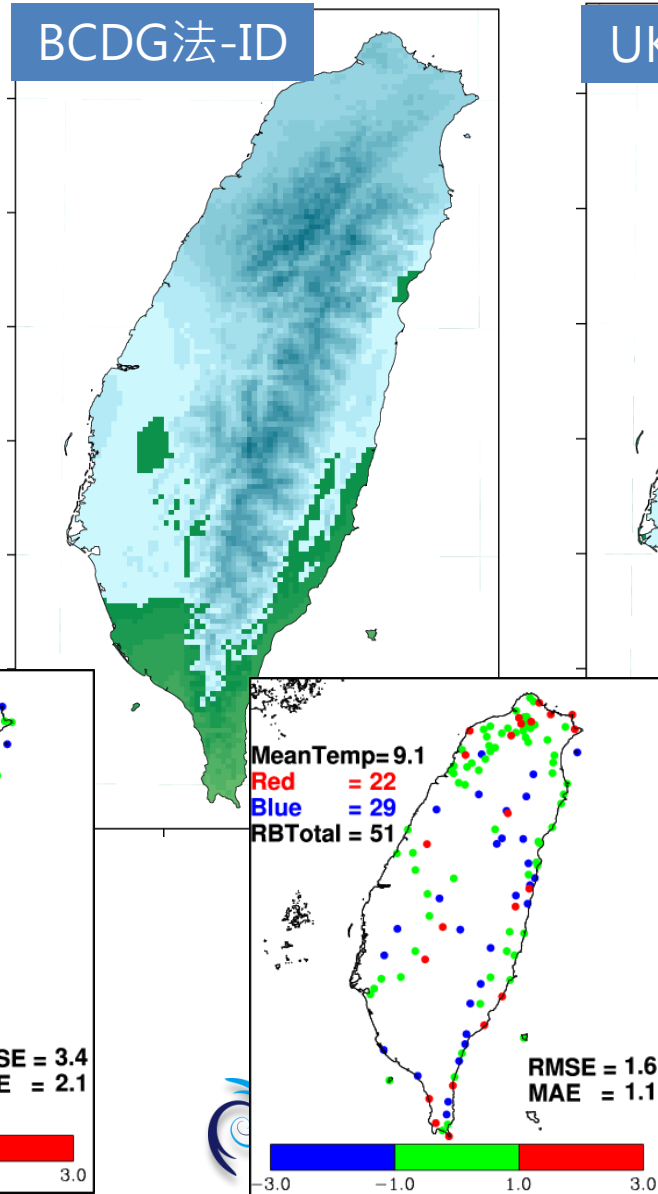
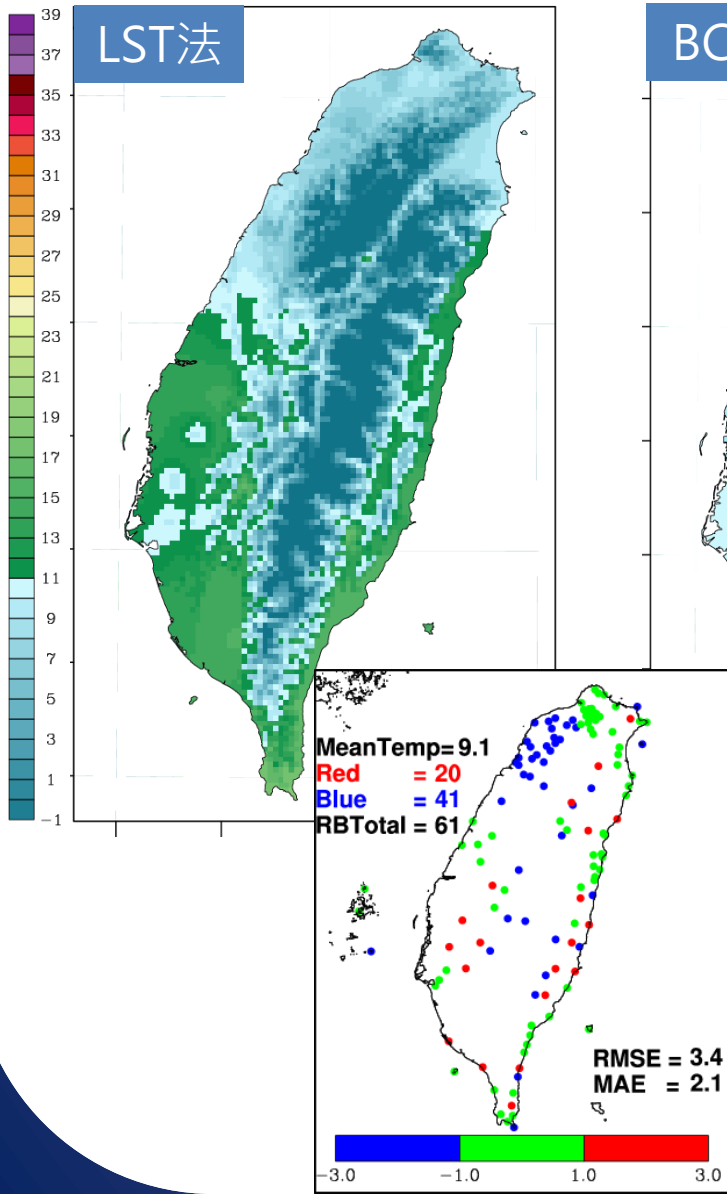


8/8 台北高溫36度基隆大武35度

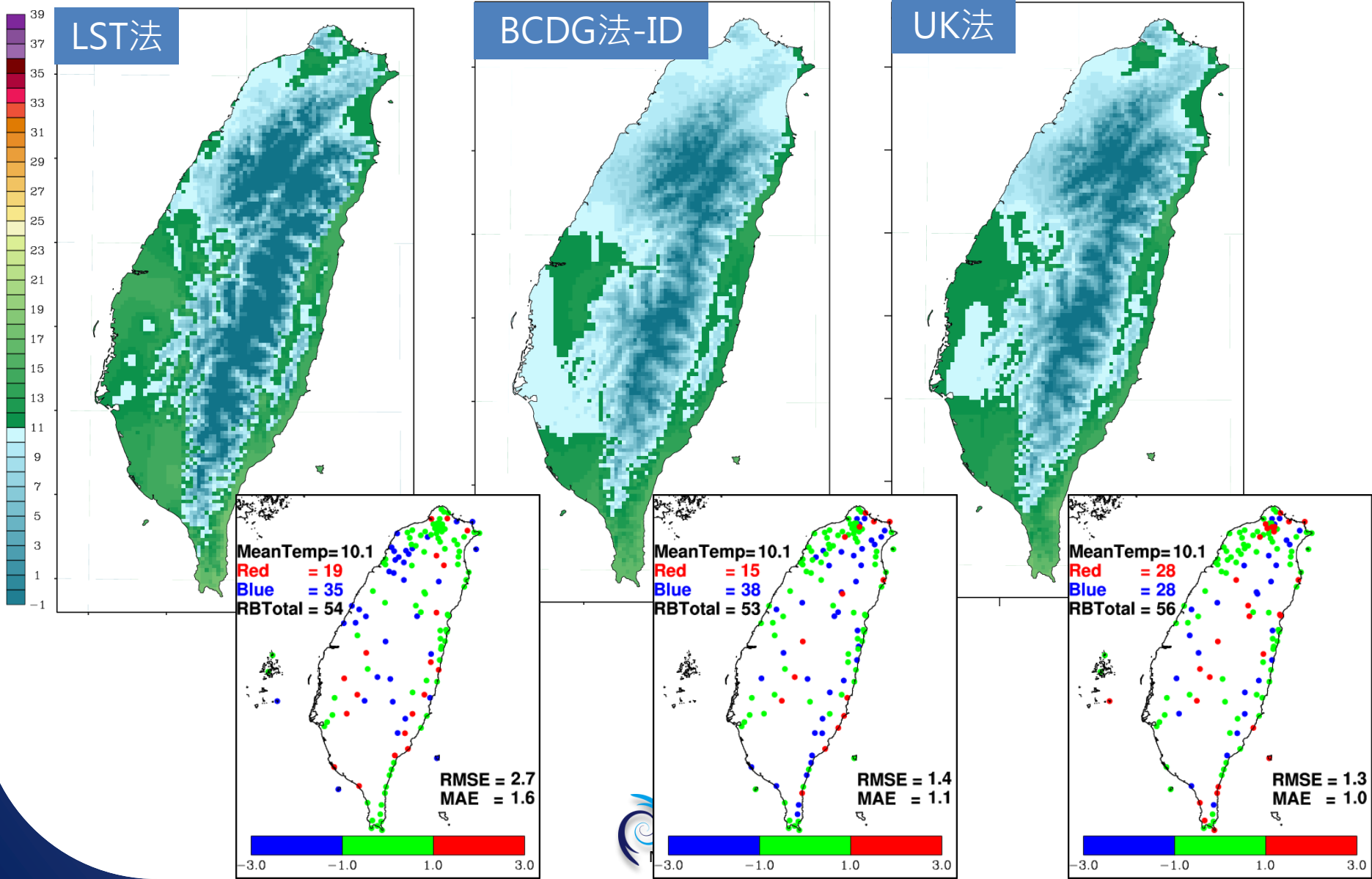
- 高估低估測站總和數LST法及UK法差異不大
- LST法及UK法在北部地區及大武表現差不多，BCDG則有較多較高誤差測站
- 統計數值以UK表現稍佳



12/30 冷天氣型態案例



2013 1/18 冷天氣型態案例



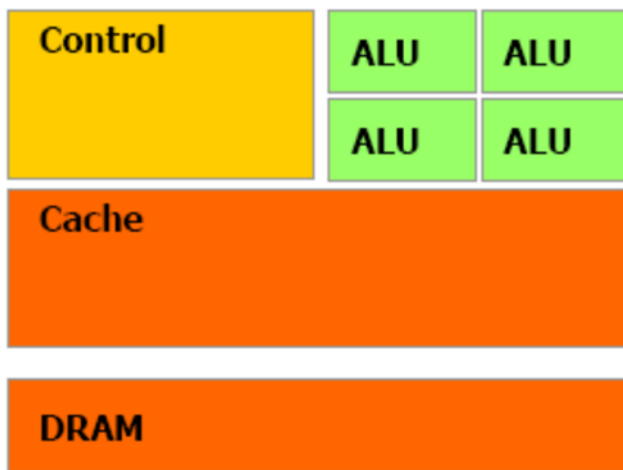
小結

- LST法在高山有低估現象
 - 在冷天氣型態中，LST法在北部有不錯估計結果；但嘉南地區誤差較大
 - 在熱天氣型態中，LST法在北部會有不錯估計結果
- BCDG改以ID權重式面化結果較使用Cressman權重式為佳
- UK法整體統計數值較佳，且僅需測站溫度即可計算，建議作為產製高解析度產品之面化技術
- UK法產製高解析度產品需透過大量矩陣運算，亟需克服計算效率... (GFE 67,600 點需要32.219秒!)

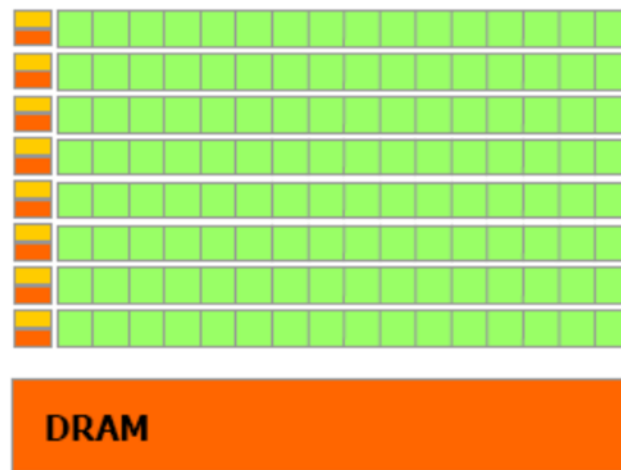
GPU與 NVIDIA CUDA技術應用

GPU vs. CPU 設計差異

- GPU (圖形處理器)與CPU (中央處理器)硬體差異
 - 最初專為 影像處理 所需之 計算密集 (compute-intensive) 、 高度平行計算 (highly parallel computation) 功能設計
 - 具大量 算術邏輯單元(ALU) 以滿足 資料處理 需求，有別於CPU以 資料快取 與 流程控制 為主要目的

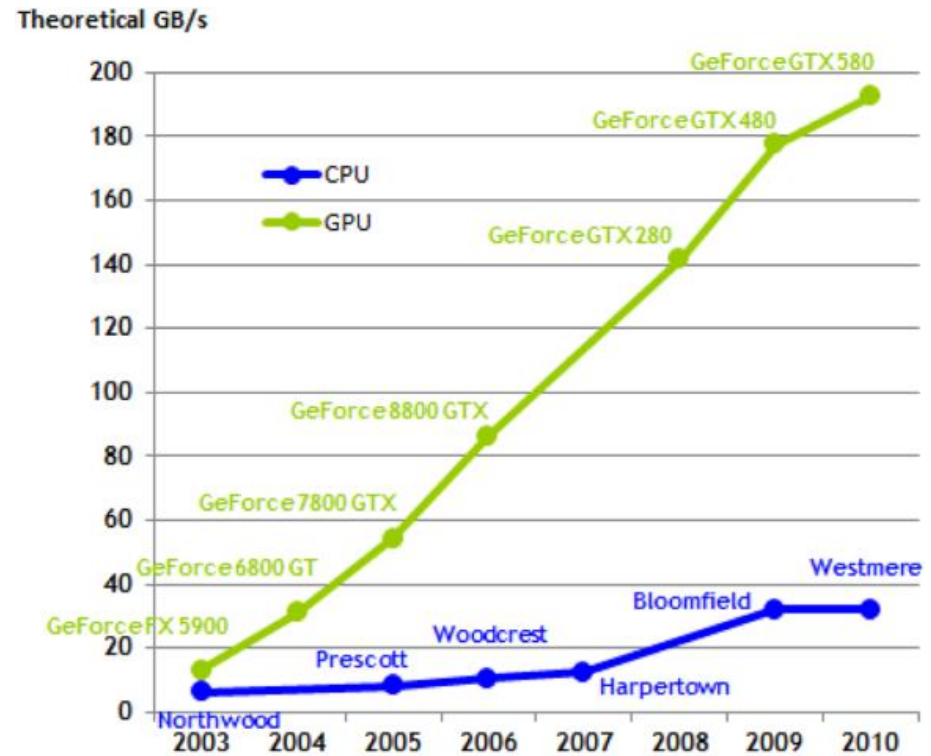
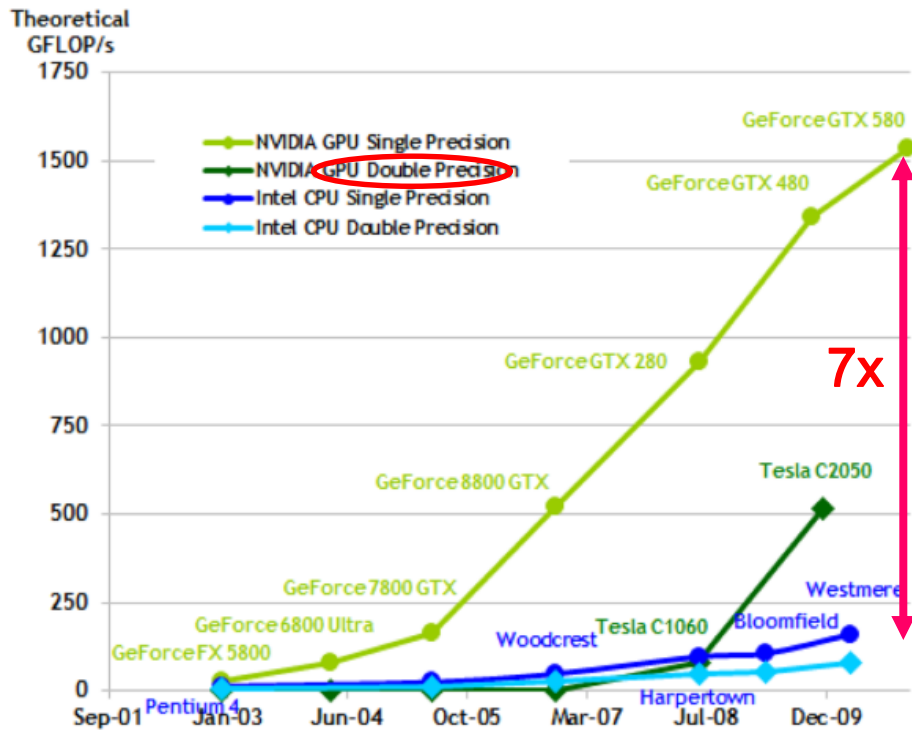


CPU



GPU

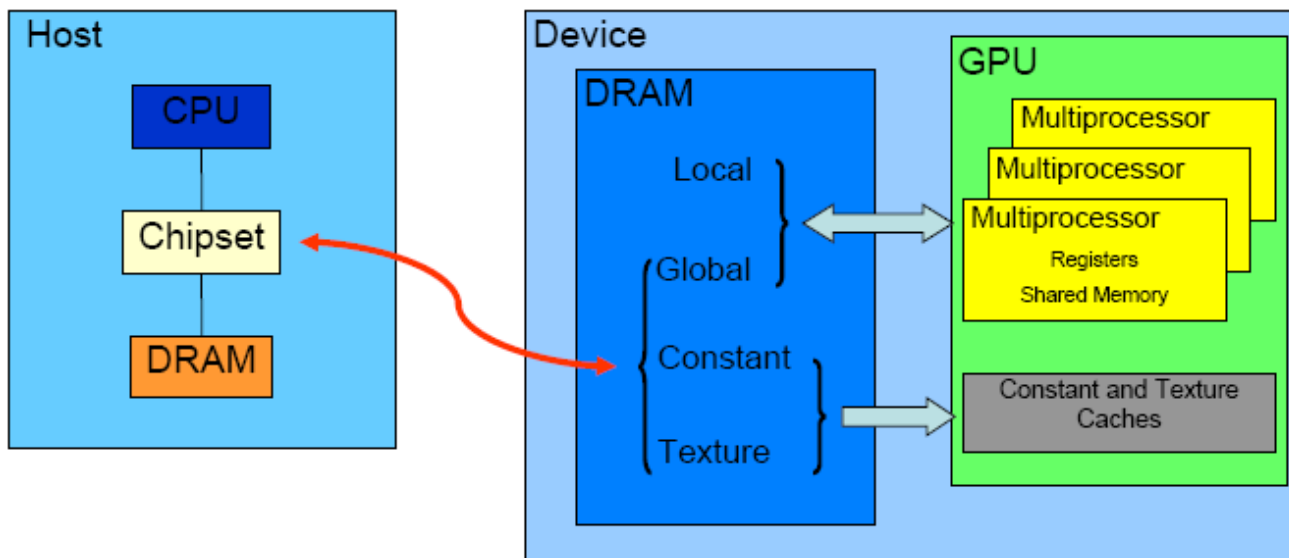
GPU vs. CPU 計算能力比較



NVIDIA KEPLER GPU



GPU 記憶體類型



Memory(speed)	Location	Access	Scope	Life
Local	Off-Chip	R/W	One thread	Thread
Global (1x)		R/W	All threads + host	App.
Constant (~10x)		R	All threads + host	App.
Texture		R	All threads + host	App.
Shared (~100x)	On-Chip	R/W	All threads in a block	Block
Register (~100x)		R/W	One thread	Thread

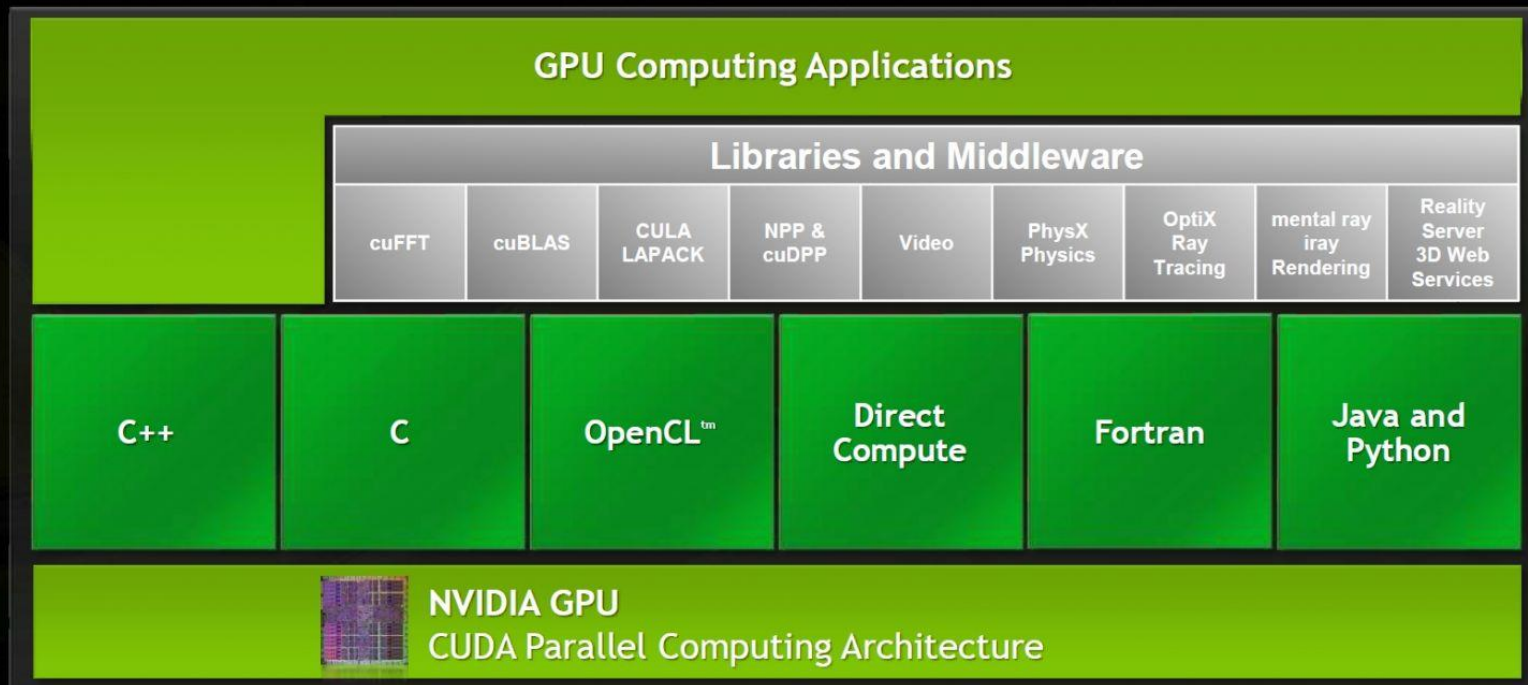
CUDA ?

- Compute Unified Device Architecture

CUDAの構成要素



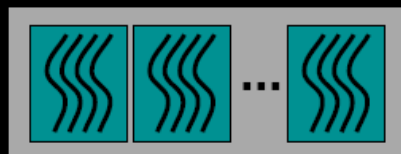
並列コンピューティングのための統合開発環境



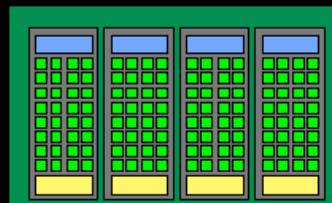
GPU 應用程式開發

Execution Model

Software



Hardware



Threads are executed by thread processors

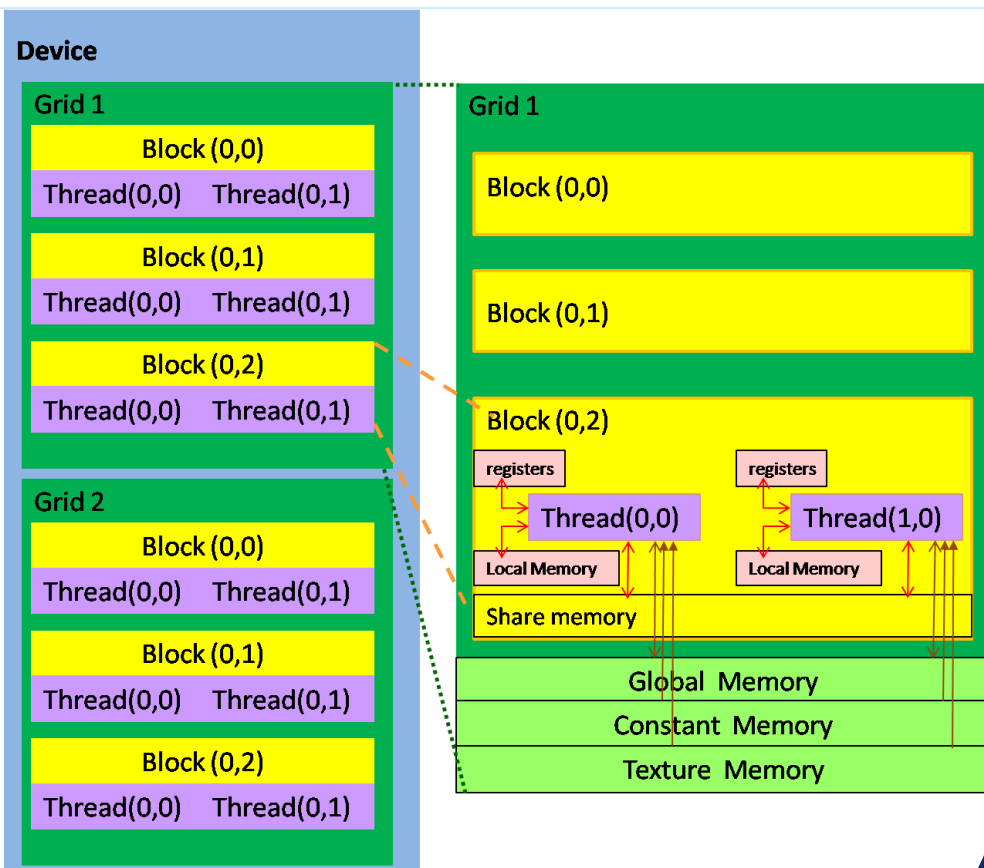
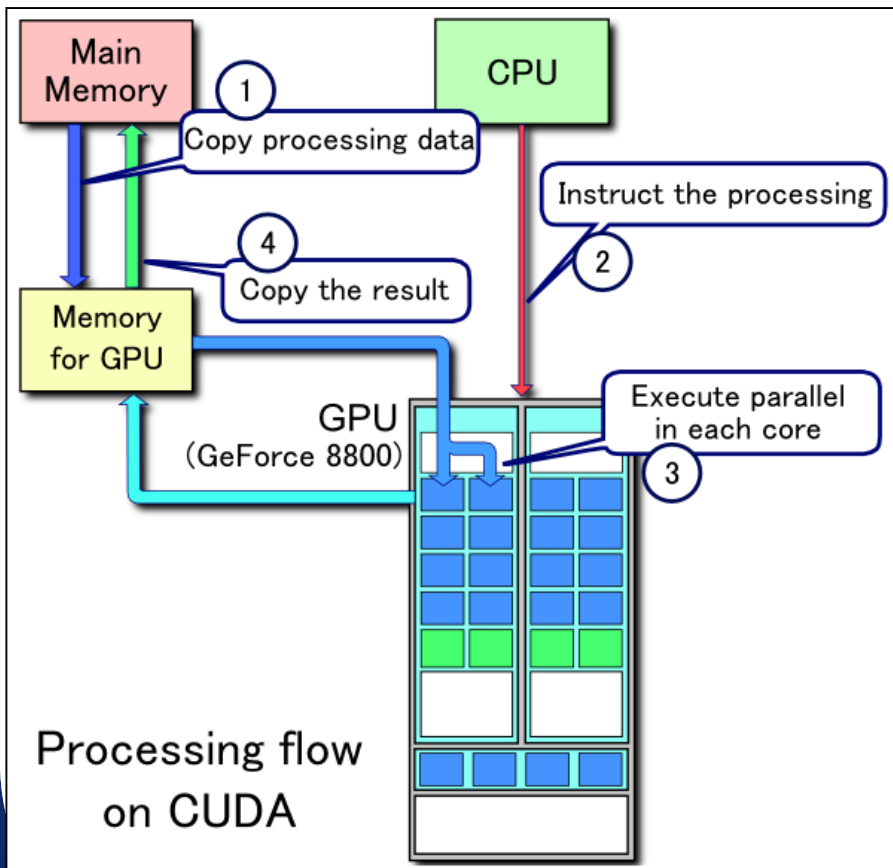
Thread blocks are executed on multiprocessors

Thread blocks do not migrate

Several concurrent thread blocks can reside on a multiprocessor

A kernel is launched on a device as a grid of thread blocks

GPU 協同 CPU 作業

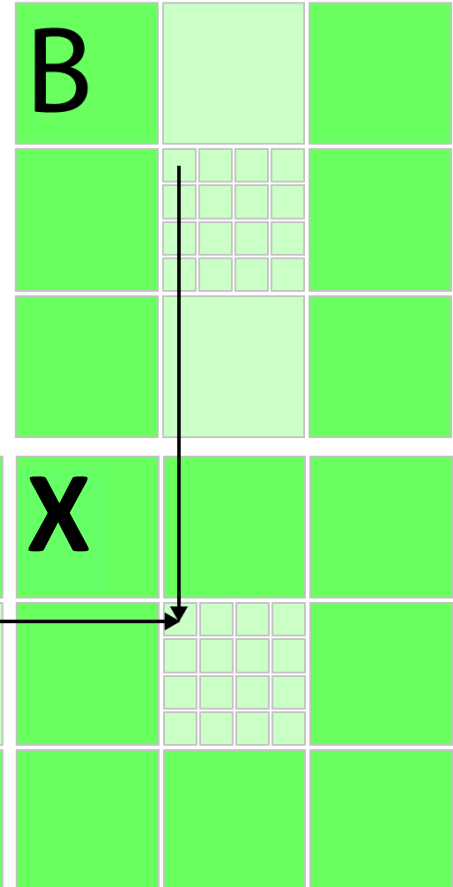
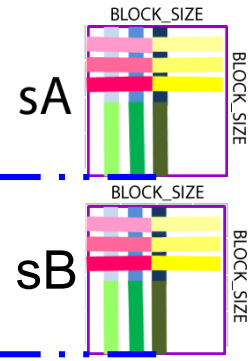
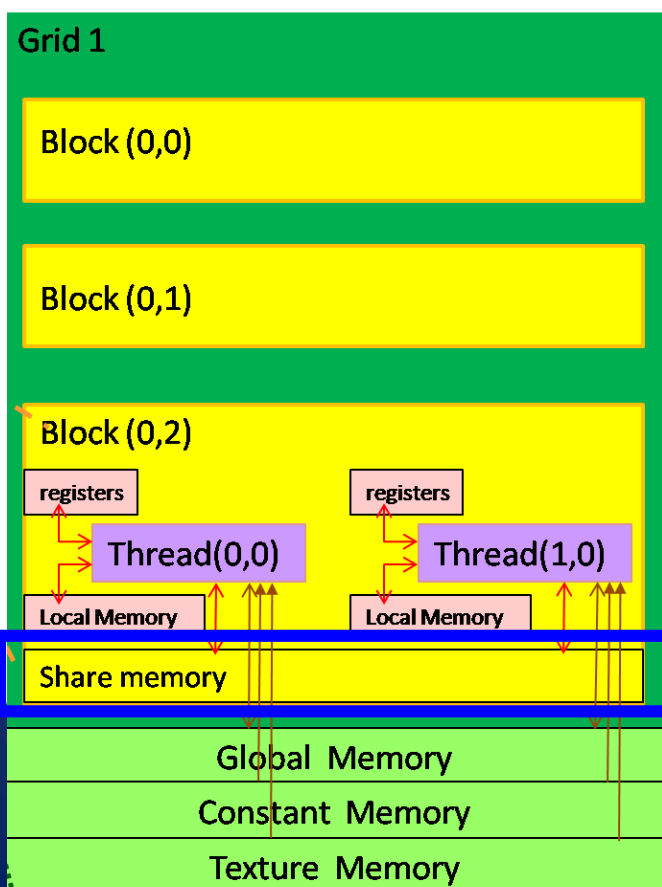


UK法計算網格點權重係數

$$\mathbf{X} = \mathbf{A}^{-1}\mathbf{B} \Rightarrow \begin{bmatrix} \lambda_{1p_1} & \cdots & \lambda_{1p_m} \\ \vdots & \cdots & \vdots \\ \lambda_{np_1} & \cdots & \lambda_{np_m} \\ v_{1p_1} & \cdots & v_{1p_m} \\ v_{2p_1} & \cdots & v_{2p_m} \\ v_{3p_1} & \cdots & v_{3p_m} \end{bmatrix} = \begin{bmatrix} \text{cov}(d_{11}) & \cdots & \text{cov}(d_{1n}) & 1 \\ \vdots & \ddots & \vdots & \vdots \\ \text{cov}(d_{m1}) & \cdots & \text{cov}(d_{mn}) & 1 \\ 1 & \cdots & 1 & 0 \\ y_1 & \cdots & y_n & 0 \\ h_1 & \cdots & h_n & 0 \end{bmatrix}^{-1} \begin{bmatrix} \text{cov}(d_{1p_1}) & \cdots & \text{cov}(d_{1p_m}) \\ \vdots & \cdots & \vdots \\ \text{cov}(d_{np_2}) & \cdots & \text{cov}(d_{np_m}) \\ 1 & \cdots & 1 \\ y_{p_1} & \cdots & y_{p_m} \\ h_{p_1} & \cdots & h_{p_m} \end{bmatrix}$$

0

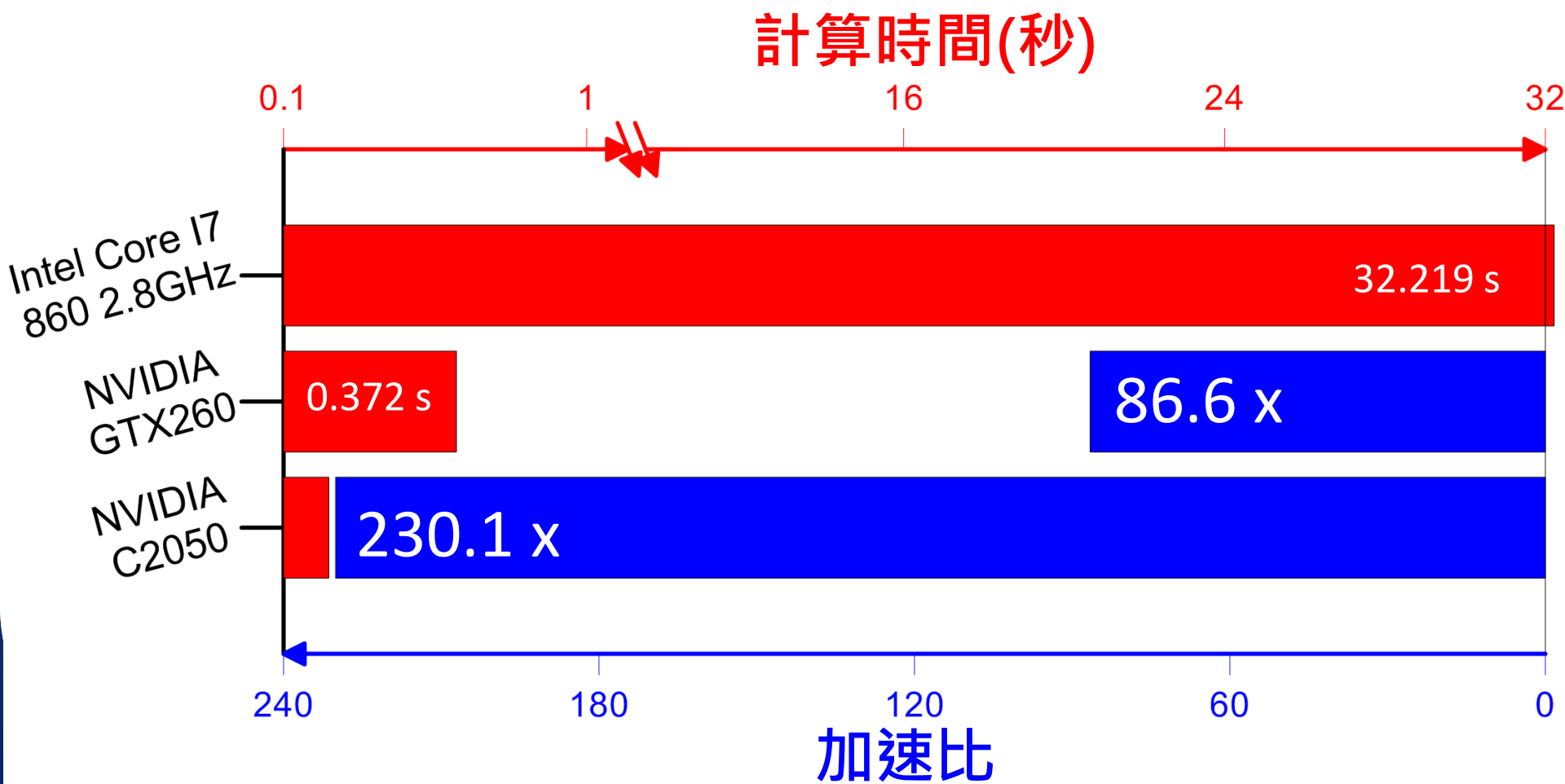
gridDim.x-1



gridDim.y-1

UK法GPU化之加速比

面化GFE範圍內67,600個格點溫度值比較



研究綜整

- LST法在高山有低估現象
 - 在冷天氣型態中，LST法在北部有不錯估計結果；但嘉南地區誤差較大
 - 在熱天氣型態中，LST法在北部會有不錯估計結果
- BCDG改以ID權重式面化結果較使用Cressman權重式為佳
- UK法整體統計數值較佳，且僅需測站溫度即可計算，建議作為產製高解析度產品之面化技術
- UK法計算所需之大量矩陣運算，可藉由NVIDIA CUDA技術結合GPU計算資源大幅提升計算效率

簡報結束
敬請指教